

태양열 집광 흡수기내의 종횡비가 공간내의 열전달에 미치는 영향

이용훈* · 이중섭* · 배강열* · 정효민** · 정한식**

Study on the Heat Transfer into by Space by the Aspect Ratio of Solar Concentration Absorber.

Y. H. Lee, J. S. Lee, K. Y. Bae, H. M. Jeong and H. S. Chung

Key Words: Rayleigh number(레이레이 수), Nusselt number(누셀 수), Tilt angle(경사 각도), Heat source(열원), 종횡비(Aspect Ratio)

Abstract

This paper showed the study on the heat transfer into space by the aspect ratio of solar concentration absorber, and the purpose of this study is to obtain the optimum aspect ratio and tilt angle. The boundary conditions of a numerical model were assumed as follows : (1) The heat source is located at the center of absorber. (2) The bottom wall is opened and adiabatic. (3) The top, right and left walls are cooled wall. The parameters for the study are the tilt angles and the aspect ratio. The velocity vectors and isotherms were dense at wall side and the heat source. The mean Nusselt number had a maximum value at Ar=1:1 and $\theta=0^\circ$ and showed a low value as the tilt angles were increased.

기호설명

A	: 표면적 [m^2]	α	: 열 확산계수 [m^2/s]
H	: Y방향의 무차원 길이	β	: 열팽창계수 [K^{-1}]
L	: X 방향의 무차원 길이	ρ	: 밀도 [kg/m^3]
T	: 공간 내 온도 [$^\circ C$]	ν	: 동점성계수 [m^2/s]
T_c	: 냉각온도 [$^\circ C$]	μ	: 점성계수 [Pa · S]
T_h	: 가열온도 [$^\circ C$]	Ar	: 종횡비 [L / H]
U	: X방향 속도	Gr	: Grashof 수
V	: Y방향 속도	Nu	: 국소 Nusselt 수
X	: 수평방향 좌표	\bar{Nu}	: 평균 Nusselt 수
Y	: 수직방향 좌표	Pr	: Prandtl 수
		Ra	: Rayleigh. 수
		θ	: 흡수기 경사각도 [$^\circ$]
		Φ	: 무차원 온도

*경상대학교 대학원

**경상대학교 수송기계공학부 · 해양산업연구소

1. 서론

태양에너지는 태양으로부터 지구 대기권 밖에 도달하는 에너지는 약 $1370(\text{W}/\text{m}^2)$ 으로 추정되고 있으며 지표면에는 대기중의 먼지나 구름 등에 의하여 산란 방사되며 지역과 시간에 따라서 값 차이를 갖고 있으며 우리나라 남부 지방에는 최고 $7000(\text{kcal}/\text{m}^2\text{day})$ 으로 평가되고 있다.

따라서 국내외를 막론하고 가장 일반적인 태양 열의 집열기는 평판형으로서 집열 온도가 80°C 이하의 저온이며 평판형의 집열기의 설치 면적이 크게 되는 단점이 있다. 이를 해결하기 위하여 저밀도의 태양열을 고밀도화 시키기 위한 집열기의 활용이 두드러지고 있다. 예로서는 PTC(Parabolic Trough Concentrator) 집열기가 대표적이다⁽¹⁾⁻⁽⁴⁾. 이 집열기는 $80\sim200^\circ\text{C}$ 의 중온을 얻을 수 있는 시스템이지만 동서 또는 남북 방향으로 일정한 길이를 갖고 있으므로 인하여 설치 면적이 커진다. 이에 대하여 접시형 집광기를 채택 하므로 보다 고온의 시스템으로 접근이 가능하다. 이 접시형 집광 시스템은 태양광을 반사하는 반사기(Reflector)와 이 반사된 태양광을 집적하는 흡수기(Absorber)로 구성된다. 이 흡수기는 원추형, 사각형 및 원통형 등으로서 형상에 따른 여러 종류가 채택되고 있다. 이 흡수기 내면에는 가는 열 교환용 파이프를 부착하여 고온을 흡수하는 구조로 되어 이에 대한 열 교환에 관한 연구⁽⁵⁾가 있다. 흡수기는 완전 밀폐공간과 유사한 열 유동 현상으로서 이⁽⁶⁾와 문⁽⁷⁾⁽⁸⁾은 벽면의 온도차가 밀폐공간에 미치는 영향을 연구하였고, 정⁽⁹⁾은 밀폐공간내의 자연대류에 관한 수치해석 모델을 제시하였으며 이외에도 밀폐공간내의 자연대류에 관한 연구가 많다.

특히 흡수기의 구조는 기존의 완전 밀폐공간내의 유동과는 차별이 있어 한 면이 대기에 개방되어 있다. 고집광 태양열 시스템 구현을 위한 집광 흡수기의 종횡비에 대하여 연구하였다. 흡수기의 종횡비를 0.5, 0.75 그리고 1로서 가정하여 수치해석을 수행하였다. 각 변수에 대한 등온선의 분포와 속도 벡터의 분포를 도출하였으며, 각 도에 따른 정량적인 온도분포와 속도분포를 확인하였다. 각 종횡비에 대한 국소 Nusselt수와 평균 Nusselt수를 각각 나타내었다. 이상과 같은 결과

를 이용하여 최적의 종횡비와 경사각도를 찾고 흡수기의 설계자료를 도출하였다.

2. 수치해석

2.1. 계산 모델

채택한 계산 모델의 기하학적 형상은 Fig.1과 같이 직사각형 내부에는 반사광에 의해 형성된 열원이 있으며 하부는 대기에 개방되고 상부 및 좌우의 벽면은 등온조건이다. 아래의 벽면은 단열로 하여 일정하게 유지되어 있다. 흡수기 모델의 크기는 1:1, 1:0.75와 1:0.5로 하였으며 무차원 층류 대류의 방정식의 해를 구하기 위하여 직교 좌표계를 적용하였다.

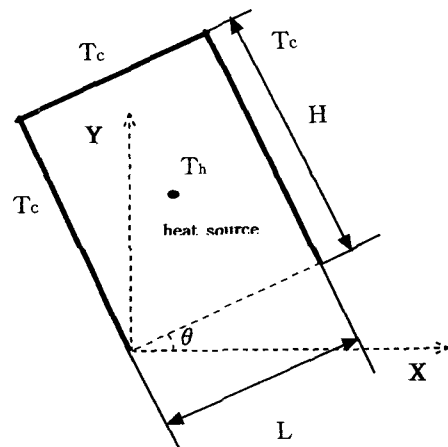


Fig.1 Schematic diagram of numerical model.

2.2. 지배 방정식

직교 좌표계에 대한 유동을 지배하는 방정식은 연속, 운동량, 그리고 에너지 방정식으로 이들의 무차원화된 형태는 다음과 같다.

연속방정식 :

$$\frac{\partial U}{\partial X} + \frac{\partial V}{\partial Y} = 0 \quad \dots \dots \dots (1)$$

운동량방정식 :

$$U \frac{\partial U}{\partial X} + V \frac{\partial U}{\partial Y} = - \frac{\partial P}{\partial X} + \nabla^2 U + \frac{Ra}{Pr} \Phi \sin \theta \quad \dots \dots \dots (2)$$

$$U \frac{\partial V}{\partial X} + V \frac{\partial V}{\partial Y} = - \frac{\partial P}{\partial Y} + \nabla^2 V + \frac{Ra}{Pr} \Phi \cos \theta \quad \dots \dots (3)$$

에너지 방정식 :

$$U \frac{\partial \Phi}{\partial X} + V \frac{\partial \Phi}{\partial Y} = \frac{1}{Pr} \nabla^2 \Phi \quad \dots \dots (4)$$

여기서 사용한 무차원 수는 다음과 같다.

$$\Phi = \frac{T - T_c}{T_h - T_c},$$

$$Gr = \frac{g\beta(T_h - T_c)H^3}{v^2}, \quad Pr = \frac{\mu C_p}{k}$$

$$Ra = \frac{\rho g \beta (T_h - T_c) H^3}{\mu \alpha}$$

흡수기내의 열 유체유동에 대한 특성을 수치적으로 해석하기 위해서 도입한 가정은 다음과 같다.

- 정상상태 층류 유동이다.
- 양쪽의 두 벽면과 위의 벽면은 등온이고 아래 벽면은 대기와 접촉하고 있다.
- 물성치는 일정하게 유지된다.

계산을 위한 경계조건은 다음과 같다.

- 상부 및 좌우벽면

$$U = V = 0, \Phi = 0 \quad \dots \dots (5)$$

- 하부벽면

$$U = 0, \frac{\partial V}{\partial Y} = 0, \frac{\partial \Phi}{\partial Y} = 0 \quad \dots \dots (6)$$

- 열원

$$U = V = 0, \Phi = 1 \quad \dots \dots (7)$$

2.4 수치해석

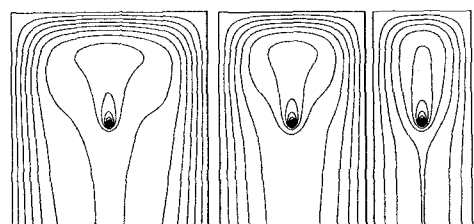
유동장과 온도장을 해석하기 위하여 계산영역을 X축의 방향의 길이를 1, 0.75과 0.5로 변화시키고 Y축 방향의 길이를 H=1로써 격자간의 길이는 등간격이고 직교좌표계를 사용하여 수치해석을 실행하였다. 양쪽 면이 각각 등온 되므로, 하부가 개방된 직사각형의 흡수기 내의 열원에 대해 Rayleigh 수가 10 일때의 수평면과의 경사각이 $\theta = 0^\circ, 15^\circ, 30^\circ, 45^\circ, 60^\circ, 75^\circ, 90^\circ$ 인 경우의 열 유체 유동에 대한 온도분포와 속도분

포 대해서 해석하였다. 그리고 경사각의 변화에 대한 \bar{Nu} 를 나타내었다.

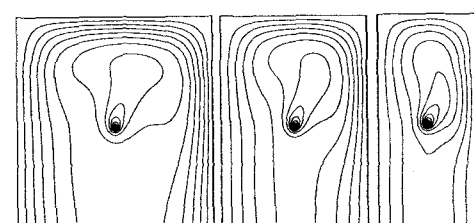
3. 결과 및 고찰

Fig.2는 4가지 형상비 변수에 따른 등온선 분포를 경사각이 $0^\circ, 45^\circ, 90^\circ$ 일 때를 나타낸 것으로서 경사각이 0° 일 때는 등온선이 상부 및 좌우벽면으로 균일하게 분포되고 있으나, 경사각이 커질수록 벽면 쪽에서 균일하지 않고 우측벽면 쪽으로 밀집되는 것을 볼 수 있다. 경사각이 0° 일 경우에는 흡수기 내의 유체가 가열하게 되어 부력에 의해서 상부 벽면으로부터 개방된 하부 벽면 쪽으로 대류를 일으키게 되지만 경사각이 90° 인 경우에는 우측 벽면에서 상하 벽면 쪽으로 유체가 대류를 일으키게 되므로 개방된 하부 공간으로 열의 손실이 많이 발생하여 경사각이 0° 일 때보다는 상대적으로 열 전달이 둔화된 결과이다.

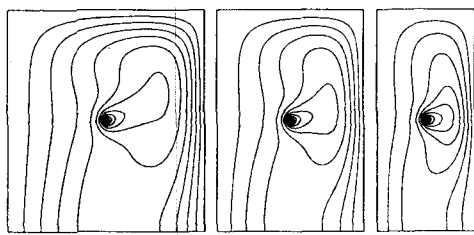
Fig.3은 속도벡터를 나타낸 것이다. 등온선 분포와 마찬가지로 경사각이 0° 일 경우가 90° 일 경우보다 흡수기 내의 전 영역에는 고르게 발달되어 있는 것을 볼 수 있다. 이것으로부터 경사각이 0° 일 경우가 90° 의 경우보다 흡수기 내로 열 전달이 더욱더 촉진되는 것을 알 수 있다.



(a) $\theta = 0^\circ$

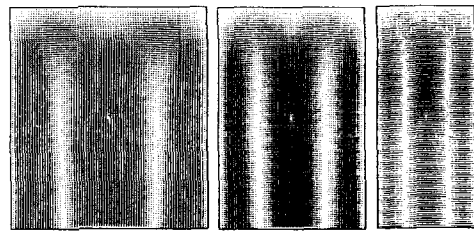


(b) $\theta = 45^\circ$

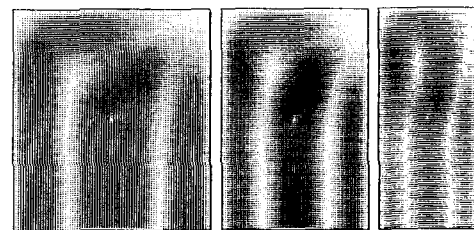


(c) $\theta = 90^\circ$

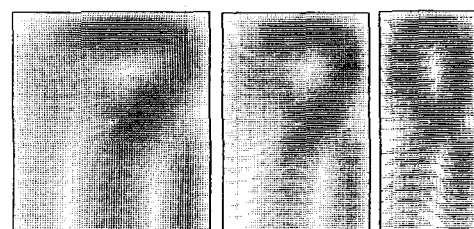
Fig.2 Isotherms distributions of solar concentration absorber for tilt angles.



(a) $\theta = 0^\circ$

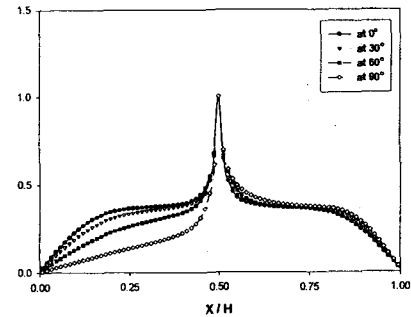


(b) $\theta = 45^\circ$

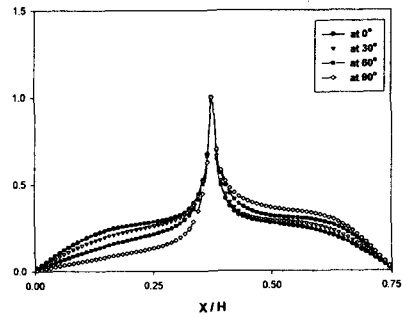


(c) $\theta = 90^\circ$

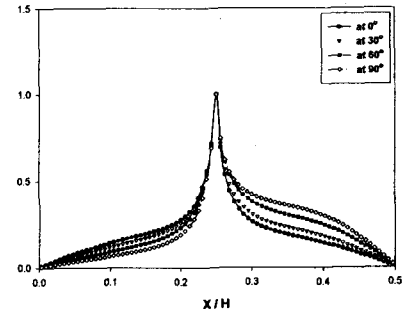
Fig.3 Velocity vector distributions of solar concentration absorber for tilt angles.



(a) $Ar = 1$

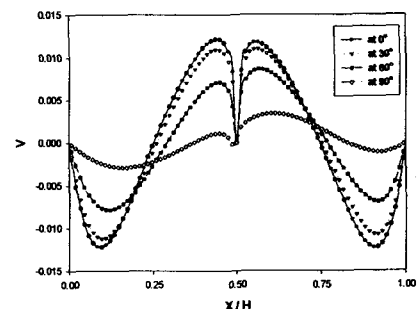


(b) $Ar = 0.75$

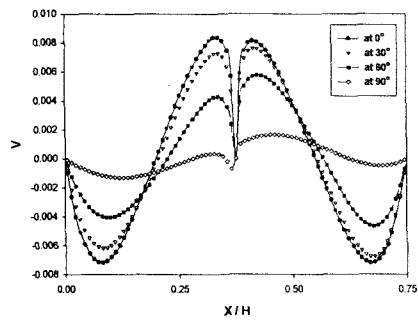


(c) $Ar = 0.5$

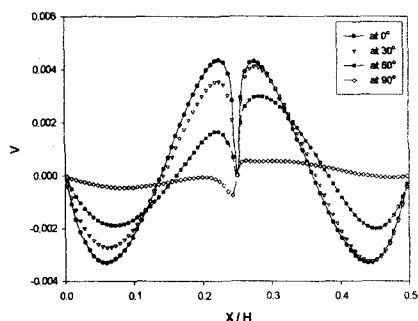
Fig.4 Dimensionless temperature on vertical center section.



(a) $Ar = 1$

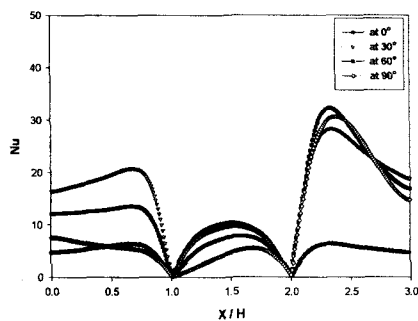


(b) $Ar = 0.75$

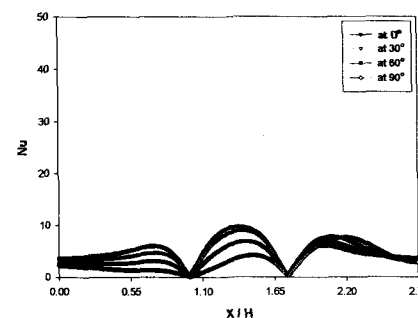


(c) $Ar = 0.5$

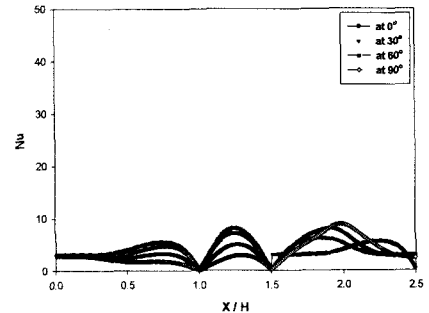
Fig.5 Velocity on horizontal center section.



(a) $Ar = 1$



(b) $Ar = 0.75$



(c) $Ar = 0.5$

Fig.6 Local Nusselt numbers Distributions of top wall surface.

Fig.4는 수직 방향의 중앙 단면에서의 온도 분포를 표시한 것이다. 경사각도가 0° 일 경우의 온도 분포가 90° 일 경우보다도 높게 나타났다. 등온선 및 속도 분포와 마찬가지로 경사각이 0° 일 경우가 흡수기 내부로 전달되는 열 전달이 더욱 활발하게 일어나고 있음을 알 수 있다.

Fig.5는 수직 방향의 중앙 단면에서 각도의 변화에 따른 속도분포를 표시하는 그림이다. 모두 경사각이 0° 일 때의 속도가 가장 크게 나타나며 경사각이 커지면서 경사각이 90° 일 때의 속도의 크기가 작아짐을 알 수 있다.

Fig.6은 종횡비의 변화에 따른 상부 및 좌우 벽면에서의 국소 Nusselt수를 표시한 그림이다. 경사각이 0° 일 경우가 Nusselt수가 가장 높게 나타나며, 경사각이 커질수록 Nusselt수가 작아진다. 또한 경사각이 증가할수록 Nusselt수의 최대값이 감소한다. 각 경사각도에서의 최대 국소 Nusselt수의 값은 $L/H=0.5$, $L/H=0.325$ 와 그리고 $L/H=0.25$ 에서 $\theta = 0^\circ, 15^\circ, 30^\circ, 45^\circ, 60^\circ, 75^\circ$ 그리고 90° 에서의 각각의 평균 Nusselt수의 값은 Table.1에 다음과 같이 나타내었다.

Table.1 Local Nusselt numbers with the tilt angles and Rayleigh 10.

	0°	15°	30°	45°	60°	75°	90°
1:1	5.842	5.762	5.553	5.168	4.698	4.098	3.411
1:0.75	5.004	4.932	4.735	4.430	4.040	3.568	3.094
1:0.5	4.034	3.997	3.893	3.747	3.568	3.352	3.146

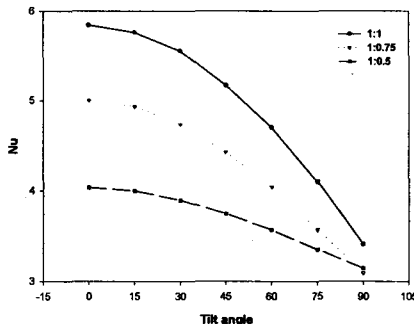


Fig.7 Mean Nusselt numbers distributions of various tilt angle.

Fig.7은 경사각도에 따라서 상부 및 좌우 벽면에서의 평균 Nusselt수를 나타낸 것이다. $Ra=10$ 일 때 경사각이 0° 이고 종횡비가 1:1인 경우가 가장 크며, 경사각도에 따른 평균 Nusselt수의 감소의 비가 작아지는 것을 볼 수 있다. 이것은 열 전달이 촉진된 결과이며 경사각도가 증가함에 따라 평균 Nusselt수의 값이 낮아지는 것을 알 수 있다. 평균 Nusselt수의 값은 Rayleigh수 보다 경사각도에 크게 지배됨을 알 수 있다. 즉, 경사각도가 증가함에 따라 낮은 국소 Nusselt수가 나타나며, 경사각도에 따라 최대값의 위치가 오른쪽으로 이동하고 있다.

4. 결론

- (1) $Ra=10$ 일 때 종횡비가 1, 0.75와 0.5에 대하여 등온선 및 속도벡터는 경사각이 0° 일 때가 흡수기내의 전영역으로 고르게 분포된다.
- (2) 종횡비에 따른 등온선 및 속도 벡터는 경사각도가 증가함에 따라 우측벽면 하부로 밀집되는 것으로 보아 경사각도가 0° 일때가 열 전달이 촉진됨을 알수 있다.
- (3) 종횡비에 따른 평균 Nusselt수는 경사각이 0° 일 경우가 가장 높으며 경사각이 커질수록 낮아진다.
- (4) $Ra=10$ 일 때 종횡비에 따른 경사각도에 대한 평균 Nusselt수의 감소비가 작아진다.
- (5) 종횡비가 1:1이고 경사각도가 0° 인 경우 흡수기의 평균 누셀수가 5.842로서 가장 열전달이 높다

후기

이 논문은 2001년도 두뇌 한국 21 사업에 의하여 지원되었습니다. 관계자 여러분들께 감사드립니다.

참고문헌

- (1) K.A. Magrinni, 1999, "Application of Solar Photocatalytic Oxidation to Voc-Containing Airstreams", RAES99-7691, Proceedings of the Renewable and Advanced Energy Systems for the 21st Century, Hawaii, USA.
- (2) Henry W. Price and Rainer Kistner, 1999, "Parabolic Trough Solar Power for Competitive U.S. Markets", RAES99-7710, Proceedings of the Renewable and Advanced Energy Systems for the 21st Century, Hawaii, USA.
- (3) 강용혁, 박희열, 윤환기, 유창균, 이정규, 서태범, “열 손실을 고려한 PTC 흡수기 최적 직경 결정에 관한 연구”, 태양에너지, 20권, 1호, 2000, pp73-80.
- (4) 백남춘, 정시영, 신우철, 윤웅상, 주문창, 박상래, “증온용 집열기를 이용한 태양열 냉난방 시스템 연구”, 태양에너지, 16권, 3호, 1996, pp3-14.
- (5) 정종만, 서태범, 강용혁, “PTC형 집열기의 원관형 흡수기에서의 복합 열전달”, 태양에너지, 20권, 1호, 2000, pp81-89.
- (6) 이재현, 김재근, 박만홍 1992, “경사진 직사각형 공간 내에서 내부적으로 가열되는 유체의 자연대류유동 및 열 전달”, 대한기계학회지 제16권, 제3호, pp. 555 ~ 568.
- (7) 민문기, 1981, “직사각형 밀폐 공간 내 자연대류 열 전달의 수치해석”, 공기조화냉동공학회지 제10권, 제3호, pp. 185 ~ 219.
- (8) 박광수, 박경우, 박희용, 1997, “유한 체적법을 이용한 밀폐공간내의 자연대류-복사열전달 해석”, 공기조화냉동공학회지 ‘97 하계 학술 발표 대회논문집, pp. 704 ~ 710.
- (9) 정효민, 이철재, 정한식, 2000, “사각형 공간 내의 난류자연대류 수치해석 모델에 관한 연구”, 공기조화냉동공학회지 제12권, 제1호, pp.33 ~ 39.